

СИНТЕЗ РАЗОМКНУТОГО КАНАЛА ИТЕРАЦИОННОЙ СИСТЕМЫ ФАП

Андреев А.И., Охрущак Д.В., Недашковский Ю.Л.

Одесская национальная академия связи им. А.С.Попова,
кафедра почтобообразующих машин

E-mail: arnika@ukr.net

Abstract

Andreev A., Okhruschak D., Nedashkovsky Yu. Synthesis of the open-circuit channel of an iterated system of PLL. The singularities of synthesis of the open-circuit compensation channel of an iterated system of phase lock loop (PLL) are considered at assigning effect with the overlapped interference.

Итерационные системы фазовой автоподстройки (ФАП) используются во многих устройствах связи и управления [1,2]. Чаще всего применяют двухсвязные итерационные системы ФАП [2]. В настоящей работе исследуются особенности синтеза оператора разомкнутой компенсационной связи основного контура управления (ОКУ) или дополнительного контура управления (ДКУ) в классе двухконтурных итерационных систем ФАП (ДИС ФАП).

Во многих практических случаях на вход итерационной системы ФАП поступает задающее воздействие $x(t)$ (разность фаз двух сравниваемых по фазе напряжений) с наложенной помехой $n(t)$. В этом случае структурная схема комбинированной ДИС ФАП имеет вид, представленный на рис.1. Уравнения ее элементов имеют вид

$$\begin{aligned} \beta_1(t) &= W_{p1}(p)\sum_1(t); \\ \sum_1(t) &= \Delta\phi_{1_k}(t) + W_{KY_1}(p)[\alpha(t) + n(t)]; \\ \Delta\phi_{1_k}(t) &= \alpha(t) + n(t) - \beta_1(t); \\ \beta_2(t) &= W_{p2}(p)\sum_2(t); \\ \sum_2(t) &= \Delta\phi_{2_k}(t) + W_{KY_2}(p)\Delta\phi_{1_k}(t), \end{aligned} \quad (1)$$

где $W_{p1}(p)$, $W_{p2}(p)$ – операторы основного (ОКУ) и дополнительного (ДКУ) контуров управления;

$W_{KY_1}(p)$, $W_{KY_2}(p)$ – операторы разомкнутых компенсационных каналов для ОКУ и ДКУ соответственно.

$\beta_1(t)$, $\beta_2(t)$ – управляемые величины ОКУ и ДКУ соответственно.

На основании известного соотношения [3] энергетический спектр фазовой ошибки с учетом выражений (1) имеет вид

$$S_{\Delta\phi k}(\omega) = |W_{\Delta\phi k}(j\omega)|^2 G_\alpha(\omega) + |W_{3k}(j\omega)|^2 S_k(\omega), \quad (2)$$

где $G_\alpha(\omega)$, $S_k(\omega)$ – энергетические спектры задающего воздействия и помехи соответственно:

$$\begin{aligned} W_{\Delta\phi k}(j\omega) &= W_{\Delta\phi 1k}(j\omega)W_{\Delta\phi 2k}(j\omega) = \\ &= \frac{1 - W_{p1}(j\omega)W_{ky2}(j\omega)}{1 + W_{p1}(j\omega)} - \frac{1 - W_{p2}(j\omega)W_{ky2}(j\omega)}{1 + W_{p2}(j\omega)}, \\ W_{3k}(j\omega) &= W_{31k}(j\omega) + W_{32k}(j\omega) - W_{31k}(j\omega)W_{32k}(j\omega). \end{aligned} \quad (3)$$

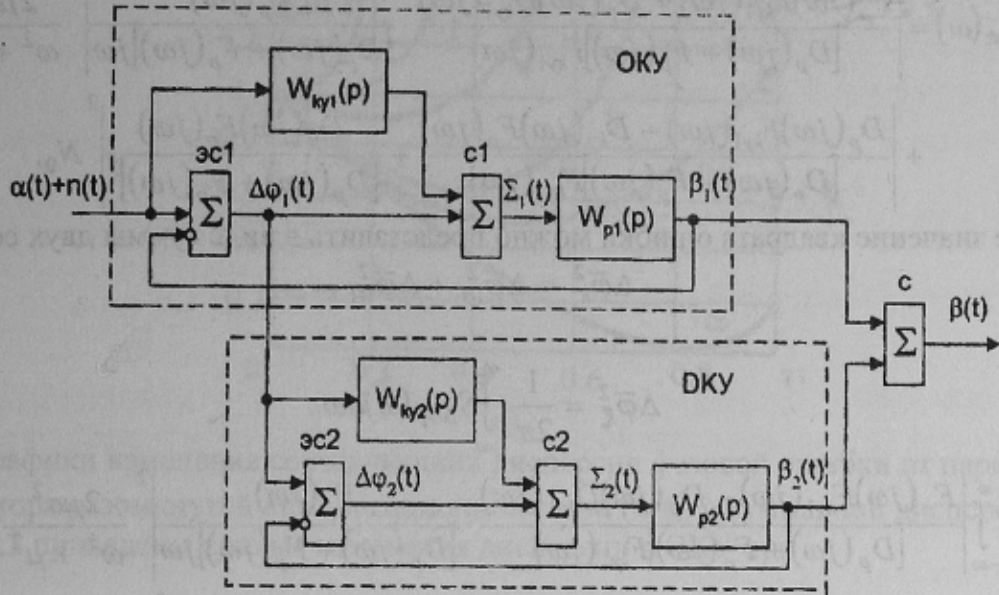


Рис.1. Структурна схема комбінованої ДІС ФАП з двома разомкнутими каналами управління

Для примера рассмотрим комбинированную итерационную систему ФАП, операторы которой определяются выражениями

$$\left. \begin{aligned} W_{p1}(p) &= W_{p2}(p) = k_p (T_1 p + 1) / [(T_2 p + 1)p]; \\ W_{ky1}(p) &= \frac{D_{ky1}(p)}{F_{ky1}(p)} = \frac{\tau p}{d_1 p + d_0} = \frac{\tau_1 p}{d_1 p + 1}; \\ W_{ky2}(p) &= 0. \end{aligned} \right\} \quad (4)$$

На вход системы ФАП (рис.1) поступает задающее воздействие, спектральная плотность в производной которого подчиняется распределению Пуассона и определяется выражением

$$S_\alpha(\omega) = 2\mu a^2 / (\omega^2 + \mu^2), \quad (5)$$

где a^2 – среднее значение квадрата скорости изменения $\alpha(t)$ – среднее значение квадрата частоты; $1/\mu$ – средняя длина промежутков времени, в течении которых скорость остается постоянной.

Если задающим воздействием считать $d\alpha(t)$, а не $\alpha(t)$ (или в изображениях по Лапласу $s\alpha(t)$, а не $\alpha(t)$), то для получения передаточной функции комбинированной итерационной системы необходимо исходное выражение разделить на s , т.е.

$$W_{\Delta\phi_k}(s)/s = \Delta\phi_k(s)/[s\alpha(s)]. \quad (6)$$

В качестве помехи, наложенной на полезный сигнал, возьмем белый шум, энергетический спектр (спектральная плотность) которой

$$S_n(\omega) = N_0 = \text{const} \quad (7)$$

С учетом выражений (3), (4), (5), и (6) получаем

$$S_{\Delta\varphi_k}(\omega) = \left| \frac{F_p(j\omega)F_{kyl}(j\omega) + D_p(j\omega)D_{kyl}(j\omega)}{[D_p(j\omega) + F_p(j\omega)]F_{kyl}(j\omega)} \cdot \frac{F_p(j\omega)}{[D_p(j\omega) + F_p(j\omega)]j\omega} \right|^2 \frac{2\mu a^2}{\omega^2 + \mu^2} + \\ + \left| \frac{D_p(j\omega)F_{kyl}(j\omega) + D_{kyl}(j\omega)F_p(j\omega)}{[D_p(j\omega) + F_p(j\omega)]F_{kyl}(j\omega)} + \frac{D_p(j\omega)F_p(j\omega)}{[D_p(j\omega) + F_p(j\omega)]^2} \right|^2 N_0, \quad (8)$$

т.е. среднее значение квадрата ошибки можно представить в виде суммы двух составляющих

$$\Delta\bar{\varphi}_k^2 = \Delta\bar{\varphi}_{I\alpha}^2 + \Delta\bar{\varphi}_{II\alpha}^2,$$

где

$$\Delta\bar{\varphi}_k^2 = \frac{1}{2\pi} \int_{-\infty}^{\infty} S_{\Delta\varphi_k}(\omega) d\omega;$$

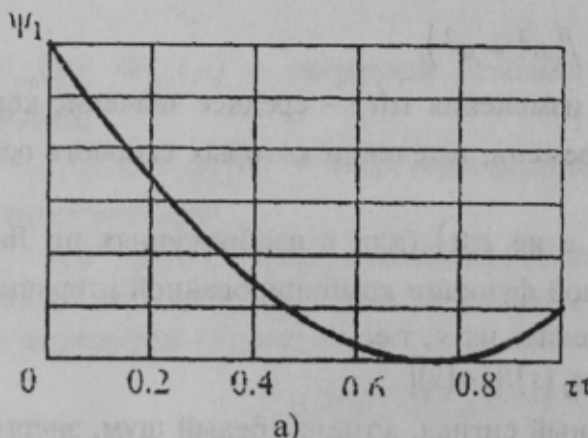
$$\Delta\bar{\varphi}_{I\alpha}^2 = \frac{1}{2\pi} \int_{-\infty}^{\infty} \left| \frac{F_p(j\omega)F_{kyl}(j\omega) - D_p(j\omega)D_{kyl}(j\omega)}{[D_p(j\omega) + F_p(j\omega)]F_{kyl}(j\omega)} \cdot \frac{F_p(j\omega)}{[D_p(j\omega) + F_p(j\omega)]j\omega} \right|^2 \frac{2\mu a^2}{\omega^2 + \mu^2} d\omega$$

$$\Delta\bar{\varphi}_{II\alpha}^2 = \frac{N_0}{2\pi} \int_{-\infty}^{\infty} \left| \frac{D_p(j\omega)F_{kyl}(j\omega) - D_{kyl}(j\omega)F_p(j\omega)}{[D_p(j\omega) + F_p(j\omega)]F_{kyl}(j\omega)} \cdot \frac{D_p(j\omega)F_p(j\omega)}{[D_p(j\omega) + F_p(j\omega)]^2} \right|^2 d\omega$$

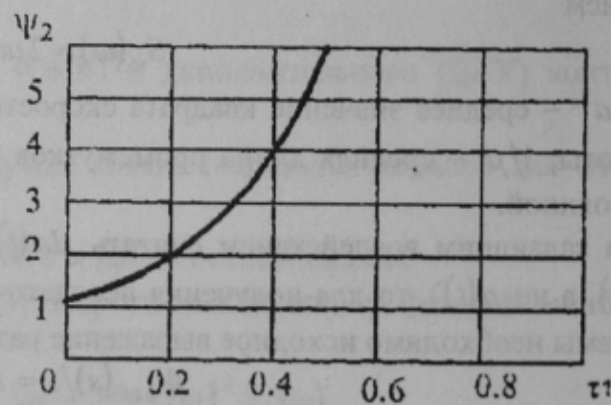
Подставив в выражение (8) конкретные значения $F_p(j\omega)$, $D_p(j\omega)$, $D_{kyl}(j\omega)$, $F_{kyl}(j\omega)$, получим

$$S_{\Delta\varphi_k}(\omega) = \left| \frac{(T_2 j\omega + 1)^2 (d_1 j\omega + 1) j\omega - k_p \tau_1 j\omega (T_2 j\omega + 1)}{[k_p (T_1 j\omega + 1) + (T_2 j\omega + 1) j\omega]^2 (d_1 j\omega + 1)} \right|^2 \frac{2\mu a^2}{\omega^2 + \mu^2} + \\ + \left| \frac{k_p (d_1 j\omega + 1) (T_2 j\omega + 1) \tau_1 (j\omega)^2}{[k_p (T_1 j\omega + 1) + (T_2 j\omega + 1) j\omega] (d_1 j\omega + 1)} + \frac{k_p (T_2 j\omega + 1)}{[k_p (T_1 j\omega + 1) + (T_2 j\omega + 1) j\omega]^2} \right|^2 N_0.$$

Определение дисперсии фазовой ошибки осуществляется с помощью известных табличных интегралов [3].



a)



б)

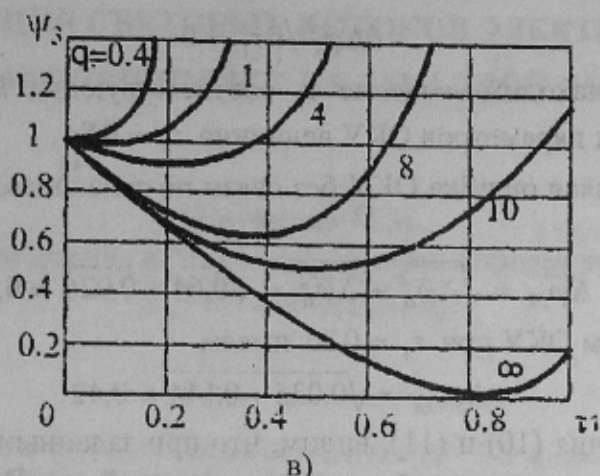


Рис.2. Графики изменения составляющих дисперсии фазовой ошибки от параметра τ_1 оператора разомкнутой компенсационной связи (а, б) и суммарной дисперсии (в)
На рис.2 приведены кривые изменения дисперсии в ОКУ при

$$W_{p1}(s) = \frac{k_p(T_1 s + 1)}{(T_2 s + 1)s} = \frac{b_1 s + b_0}{a_2 s^2 + a_1 s} = \frac{D_{p1}(s)}{F_{p1}(s)},$$

где

$$k_p = 5 \text{ } \mu\text{c} ; T_1 = 0,01\text{c} ; T_2 = 0,025\text{c} ;$$

$$b_1 = k_p T_1 ; b_0 = k_p ; a_2 = T_2 ; a_1 = 1.$$

На вход ОКУ поступает задающее воздействие, спектральная плотность которого определяется выражением (5), где $a = 18 \text{ град}^2/\text{с}^2$; $\mu = 0,01\text{c}$.

На задающее воздействие наложена помеха, спектральная плотность которой $S_n(\omega) = 0,01 = N_0$.

Дисперсия ошибки ОКУ с управлением по отклонению

$$\Delta\bar{\varphi}^2 = \Delta\bar{\varphi}_\alpha^2 + \Delta\bar{\varphi}_n^2,$$

где

$$\begin{aligned} \Delta\bar{\varphi}_\alpha^2 &= \frac{1}{2\pi} \int_{-\infty}^{\infty} \left| \frac{(a_1 j\omega + a_0) \sqrt{2\mu a}}{[c_2(j\omega)^2 + c_1(j\omega) + c_0](j\omega + \mu)} \right|^2 d\omega = I_3 = \\ &= \frac{-c_2 2\mu a^2 - c_2(c_1 + c_2\mu)2\mu a^2 a_1^2 / (\mu c_0)(\mu c_0)}{-2c_2[\mu c_0 c_2 + (c_1 + c_2\mu)(c_0 + \mu c_1)]}, \\ \Delta\bar{\varphi}_n^2 &= I_2 = \frac{N_0(b_1^2 + b_0^2 c_2)/c_0}{2c_1 c_2}; \\ c_2 &= a_2; c_1 = k_p T_1 + 1; c_0 = k_p. \end{aligned}$$

Для комбинированного ОКУ при $W_{k1}(s) = \tau_1 s / (d_1 s + 1)$, где $d_1 = T_1$ имеем

$$\begin{aligned} \Delta\bar{\varphi}_k^2 &= \frac{-2c_2 q^2 \mu - 2c_2(c_1 + c_2)\mu a^2(a_1 - \tau_1)/(\mu c_0)}{-2c_2[\mu c_0 c_2 - (c_1 + c_2\mu)(c_0 - \mu c_1)]} + \\ &+ \frac{N_0[(b_1 - \tau_1)^2 + b_0^2 c_2/c_0]}{2c_1 c_2} = \Delta\bar{\varphi}_\alpha^2 + \Delta\bar{\varphi}_n^2. \end{aligned}$$

Возьмем частную производную $\partial\Delta\bar{\varphi}_k^2/\partial\tau_1$ и приравняем ее к нулю

$$\frac{\partial \Delta \bar{\varphi}_k^2}{\partial \tau_1} = 0. \quad (9)$$

Із уравнения (9) находим значення τ_1 соответствуюче минимуму дисперсии ОКУ. При заданих значеннях параметрів ОКУ величина $\tau_1 = 0,8c$.

Среднеквадратическаа ошибка ОКУ без связи по задающему воздействию $[W_{kyl}(p)=0]$ равна

$$\Delta \varphi_{ck} = \sqrt{\Delta \bar{\varphi}_{\alpha}^2 + \Delta \bar{\varphi}_{n_k}^2} = \sqrt{0,64 + 0,026} \approx 0,82 \quad (10)$$

В комбінованном ОКУ при $\tau_1 = 0,8c$ имеем

$$\Delta \varphi_{c_{kk}} = \sqrt{0,035 + 0,144} \approx 0,42 \quad (11)$$

Сравнивая выражения (10) и (11), видим, что при заданных параметрах ОКУ и выходных воздействиях среднеквадратическое значение фазовой ошибки в комбинированной ОКУ в $\Delta \varphi_{ck}/\Delta \varphi_{c_{kk}} = 0,82/0,42 \approx 2$ раза меньше, чем в ОКУ с управлением по отклонению.

Значение дисперсии фазовой ошибки в комбинированной ОКУ зависит от характера изменения кривых $\psi_1 = \Delta \bar{\varphi}_{\alpha k}^2 / \Delta \bar{\varphi}_{\alpha}^2 = f_1(\tau_1)$ и $\psi_2 = \Delta \bar{\varphi}_{n_k}^2 / \Delta \bar{\varphi}_n^2 = f_2(\tau)$ (рис.2,а,б).

Для рассматриваемого ОКУ видно, что с изменением параметра τ_1 связи по задающему воздействию дисперсии $\Delta \bar{\varphi}_{\alpha k}^2$ в определенных пределах изменения τ_1 уменьшается, а дисперсия $\Delta \bar{\varphi}_{n_k}^2$ увеличивается.

Отношение

$$\frac{\Delta \bar{\varphi}_k^2}{\Delta \bar{\varphi}^2} = \frac{\Delta \bar{\varphi}_{\alpha k}^2 + \Delta \bar{\varphi}_{n_k}^2}{\Delta \bar{\varphi}_{\alpha}^2 + \Delta \bar{\varphi}_n^2} = f(\tau_1)$$

при определенном значении τ_1 имеет минимум, зависящий от уровня помехи, который определяется при постоянном значении $\Delta \bar{\varphi}_{\alpha}^2$ отношением

$$q = \Delta \bar{\varphi}_{\alpha}^2 / \Delta \bar{\varphi}_n^2.$$

Кривые $\psi_3 = \Delta \bar{\varphi}_k^2 / \Delta \bar{\varphi}^2 = f_3(\tau_1)$ при $q = const$ изображены на рис.2,в. Как следует из рисунка, значение минимума дисперсии фазовой ошибки уменьшается с уменьшением уровня помех.

Таким образом, на основании сравнительного анализа итерационных комбинированных систем ФАП и итерационных систем ФАП с управлением по отклонению, показано, что итерационные комбинированные системы ФАП обладают более широкими возможностями минимизации СКО, чем итерационные системы ФАП с управлением за счет оптимального выбора параметров числителя и знаменателя оператора разомкнутой компенсационной связи по задающему воздействию. Показано, что для конкретного ОКУ с компенсационной связью среднеквадратическая фазовая ошибка уменьшается в два раза за счет оптимального выбора параметров связи. Эффективность применения разомкнутых компенсационных каналов в итерационных системах ФАП, работающих при статистически заданном (задающем) воздействии с наложенной помехой уменьшается с увеличением уровня помех.

Література

1. Осмоловский П.Ф. Итерационные многоканальные системы автоматического управления. – М.: Сов. радио, 1969. – 256с.
2. Коробко В.В., Стеклов В.К. Цифровые двухконтурные системы фазовой автоподстройки. – Сб. научных трудов КВИУС, №2, 2000 – С.131-136.
3. Зайцев Г.В. Теория автоматического регулирования и управления. – К.: Вища шк., 1989 – 431с.